

Fuentes de campo magnético

J.E. Prieto

Fuente principal de figuras:

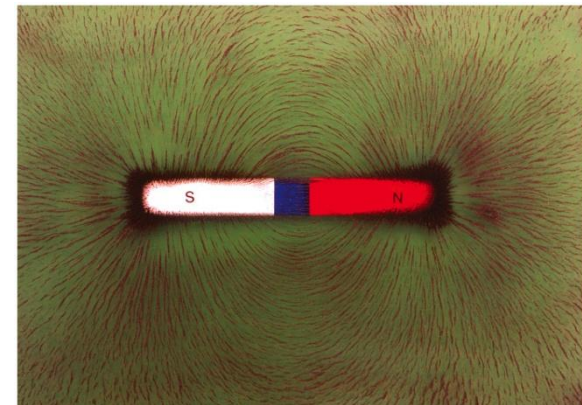
“Physics for scientists and engineers” (5th edition),

P.A. Tipler, G. Mosca

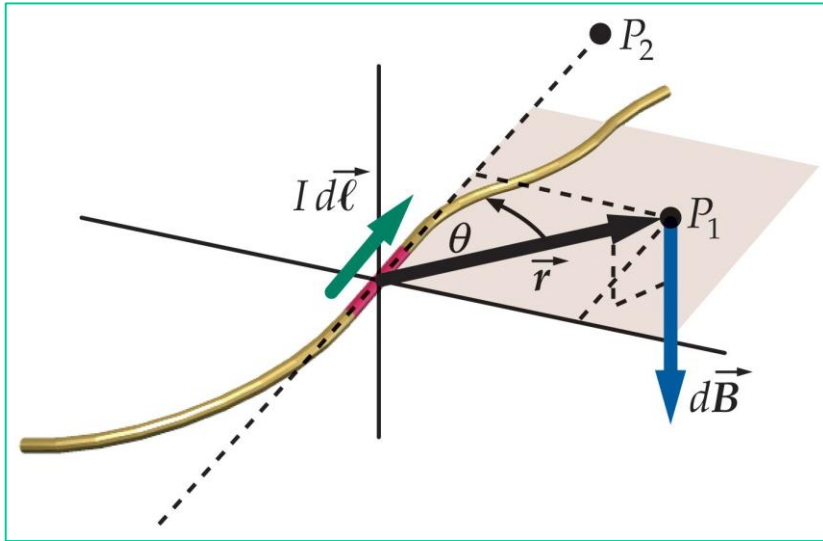
Fuentes de campo B

Dos tipos de fuentes:

- **Corrientes eléctricas** (cargas en movimiento) (Oersted)
 - Lo veremos con relativa profundidad a continuación.
- **Imanes permanentes**: Materiales “magnéticos”
 - También se puede considerar que son producidos por corrientes internas “*corrientes de imanación*” en el material.
 - Veremos algo en capítulo 6: “Propiedades magnéticas de la materia”. En realidad no se puede explicar desde el punto de vista de la Física Clásica. Requiere Mecánica Cuántica para entenderse.



Campo \mathbf{B} creado por una corriente infinitesimal: Ley de Biot-Savart

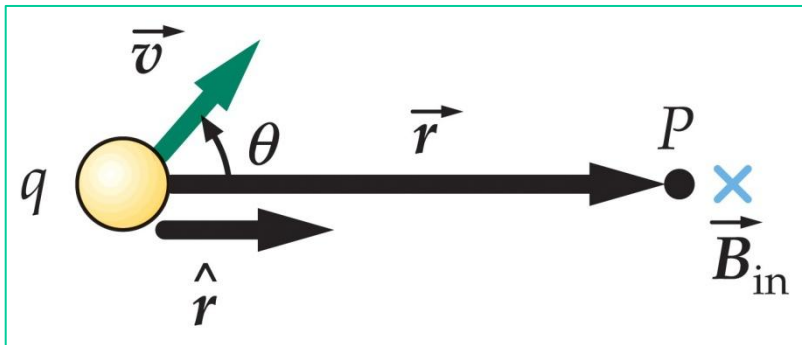


$$d\mathbf{B} = \frac{\mu_0}{4\pi} \frac{I d\mathbf{l} \times \mathbf{u}_r}{r^2}$$

• Campo $d\mathbf{B}$ creado en P_1 por un elemento de corriente $I d\mathbf{l}$ (Ley de **Biot-Savart**, con $\mu_0 = 4\pi \times 10^{-7} \text{ N/A}^2$)

• Variante: campo \mathbf{B} creado por carga puntual q que se mueve con velocidad \mathbf{v} :

$$I d\mathbf{l} = dq/dt d\mathbf{l} = dq d\mathbf{l}/dt : q \mathbf{v}$$



$$\mathbf{B} = \frac{\mu_0}{4\pi} \frac{q \mathbf{v} \times \mathbf{u}_r}{r^2}$$

Biot-Savart \leftrightarrow Coulomb

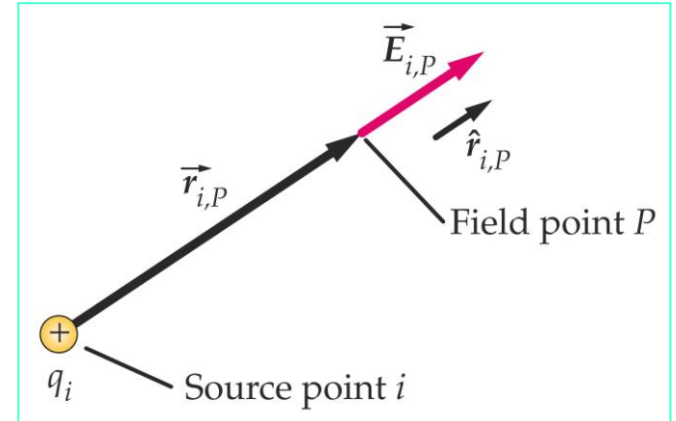
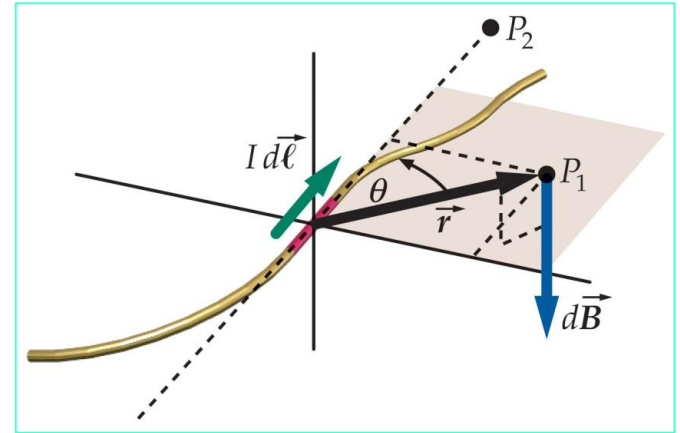
$$d\mathbf{B} = \frac{\mu_0}{4\pi} \frac{I d\mathbf{l} \times \mathbf{u}_r}{r^2}$$

- Ley de **Biot-Savart**: $d\mathbf{B}$ creado por un elemento infinitesimal de corriente $I d\mathbf{l}$

Análoga a la

- Ley de **Coulomb**: \mathbf{E} creado por una carga puntual q

$$\mathbf{E} = \frac{1}{4\pi\epsilon_0} \frac{q}{r^2} \mathbf{u}_r$$



Cálculos de \mathbf{B} producido por diversas configuraciones de corrientes usando la ley de Biot-Savart

J.E. Prieto

Fuente principal de figuras:

“Physics for scientists and engineers” (5th edition),

P.A. Tipler, G. Mosca

Ley de Biot-Savart

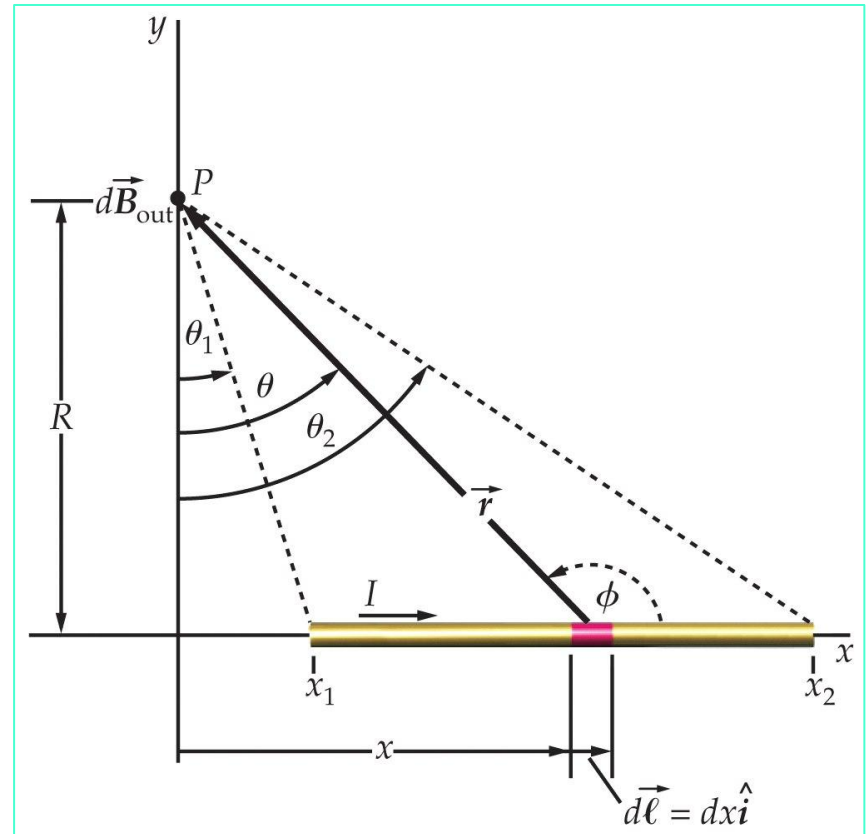
$$d\mathbf{B} = \frac{\mu_0}{4\pi} \frac{I d\mathbf{l} \times \mathbf{u}_r}{r^2}$$

• Ley de **Biot-Savart**: Ejemplos de aplicación para cálculo de campo magnético \mathbf{B} :

- *Segmento rectilíneo de corriente y corriente rectilínea infinita*
- *Espira circular*
- *Muchas espiras: solenoide*

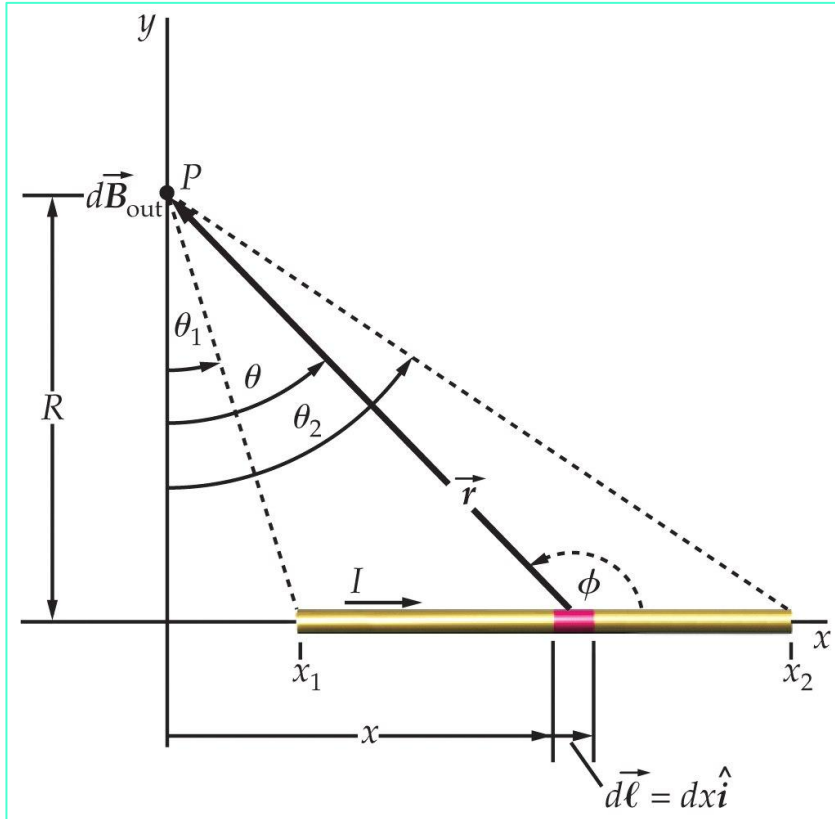


Campo \mathbf{B} creado por una corriente rectilínea



- Campo magnético \mathbf{B} creado por una corriente rectilínea (a lo largo del eje x) en un punto P situado a una distancia R .

Campo ***B*** creado por un segmento rectilíneo de corriente



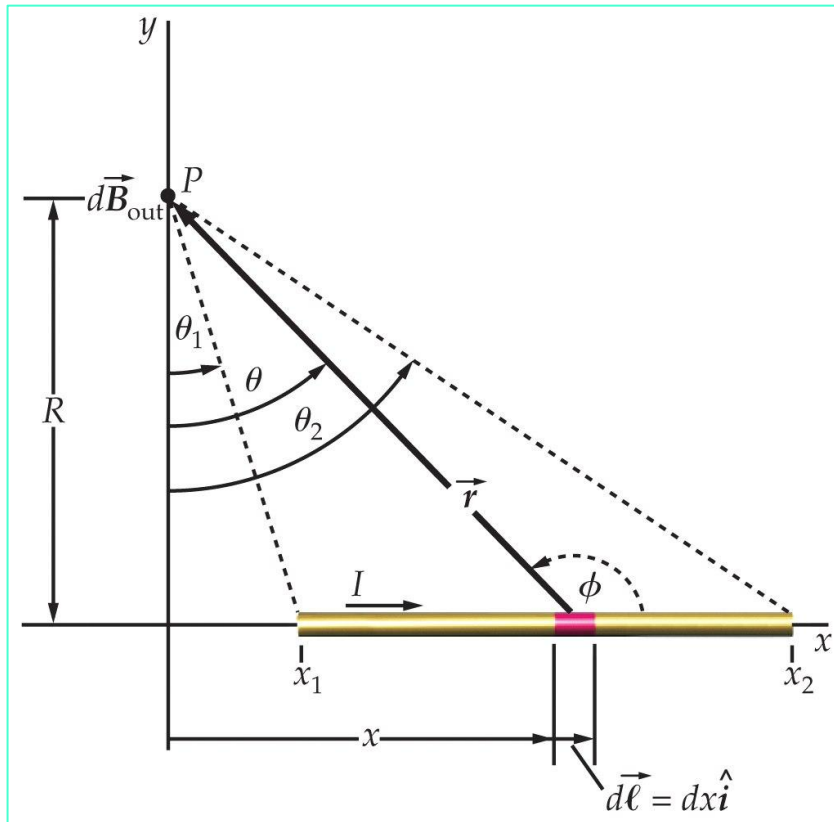
$$d\mathbf{B} = \frac{\mu_0}{4\pi} \frac{I d\mathbf{l} \times \mathbf{u}_r}{r^2}$$

$$d\mathbf{B} = \frac{\mu_0 I}{4\pi} \frac{dx \sin \phi}{r^2} \mathbf{u}_z$$

$$\sin \phi = \sin(180^\circ - \phi) = \cos \theta$$

$$\rightarrow dB = \frac{\mu_0 I}{4\pi} \frac{dx \cos \theta}{r^2}$$

Campo **B** creado por un segmento rectilíneo de corriente



$$dB = \frac{\mu_0 I}{4\pi} \frac{dx \cos \theta}{r^2}$$

$$x = R \tan \theta$$

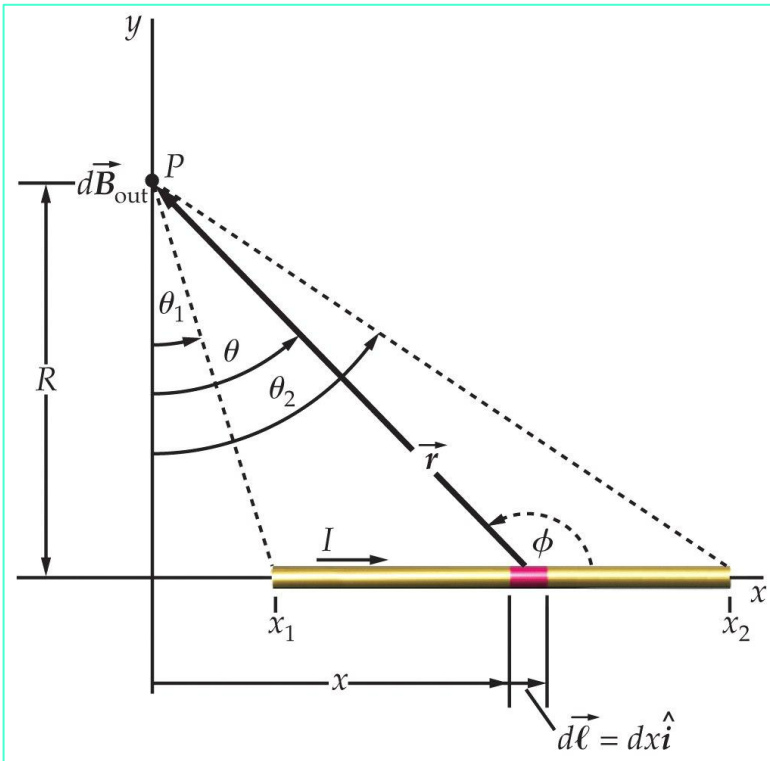
$$R = r \cos \theta$$

$$dx = \frac{R}{\cos^2 \theta} d\theta \quad r = \frac{R}{\cos \theta}$$

$$dB = \frac{\mu_0 I}{4\pi R} \cos \theta d\theta$$

$$B = \frac{\mu_0 I}{4\pi R} \int_{\theta_1}^{\theta_2} \cos \theta d\theta$$

Campo ***B*** creado por un segmento rectilíneo de corriente



$$B = \frac{\mu_0 I}{4 \pi R} \int_{\theta_1}^{\theta_2} \cos \theta \, d\theta$$

$$B = \frac{\mu_0 I}{4 \pi R} (\sin \theta_2 - \sin \theta_1)$$

$$\mathbf{B} = \frac{\mu_0 I}{4 \pi R} (\sin \theta_2 - \sin \theta_1) \mathbf{u}_z$$

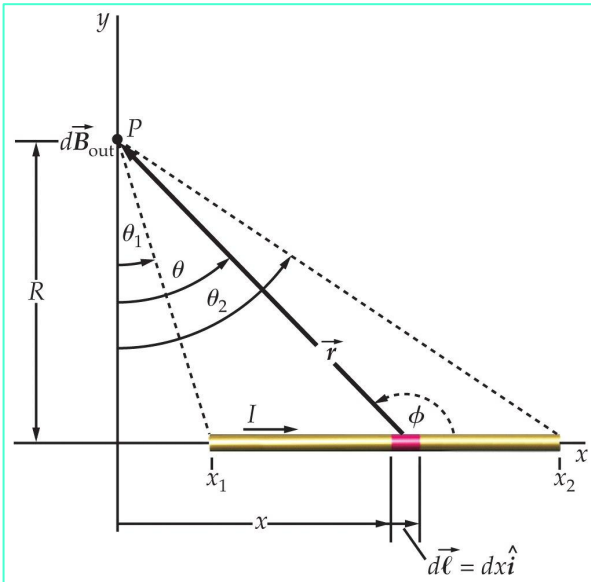
Campo \mathbf{B} creado por una corriente rectilínea infinita



$$\mathbf{B} = \frac{\mu_0 I}{4\pi R} (\sin\theta_2 - \sin\theta_1) \mathbf{u}_z$$

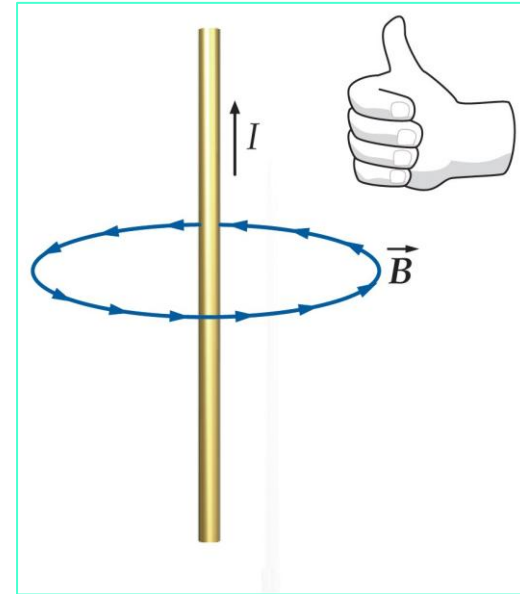
- Corriente rectilínea infinita: Límites:

$$\theta_2 \rightarrow \frac{\pi}{2}, \quad \theta_1 \rightarrow -\frac{\pi}{2}$$



$$\mathbf{B} = \frac{\mu_0 I}{2\pi R} \mathbf{u}_z$$

Resumen: Campo \mathbf{B} creado por una corriente rectilínea

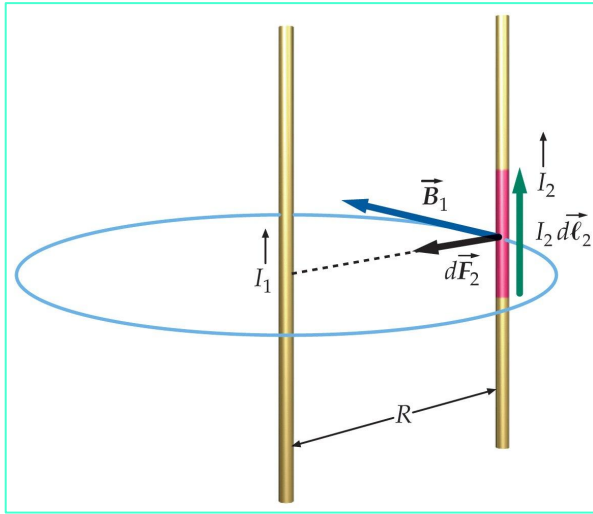


Campo \mathbf{B} creado por una corriente rectilínea:

- Líneas de \mathbf{B} : *circunferencias concéntricas*
- Dirección de \mathbf{B} : *tangencial*
- Sentido: *mano derecha*
- Módulo $\sim 1 / R$

$$\mathbf{B} = \frac{\mu_0 I}{2\pi R} \mathbf{u}_\theta$$

Fuerza magnética entre dos conductores paralelos



Consideramos que *una de las corrientes* (I_1) crea un *campo* (\mathbf{B}_1) que ejerce una *fuerza* (\mathbf{F}_2) sobre *la otra corriente* (I_2) :

$$\mathbf{F}_{L_2} = (I_2 \mathbf{u}_{L_2}) \times \mathbf{B}_1$$

$$\mathbf{F}_{L_2} = (I_2 \mathbf{u}_{L_2}) \times \frac{\mu_0 I_1}{2\pi R} \mathbf{u}_{B_1}$$

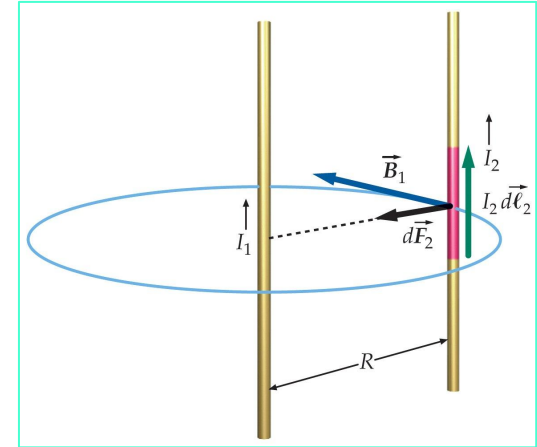
→

$$\mathbf{F}_{L_2} = \frac{\mu_0 I_1 I_2}{2\pi R} \mathbf{u}_r$$

Fuerza magnética entre dos conductores paralelos

$$\frac{F_2}{L_2} = \frac{\mu_0 I_1 I_2}{2\pi R} u_r$$

Amperio: definición



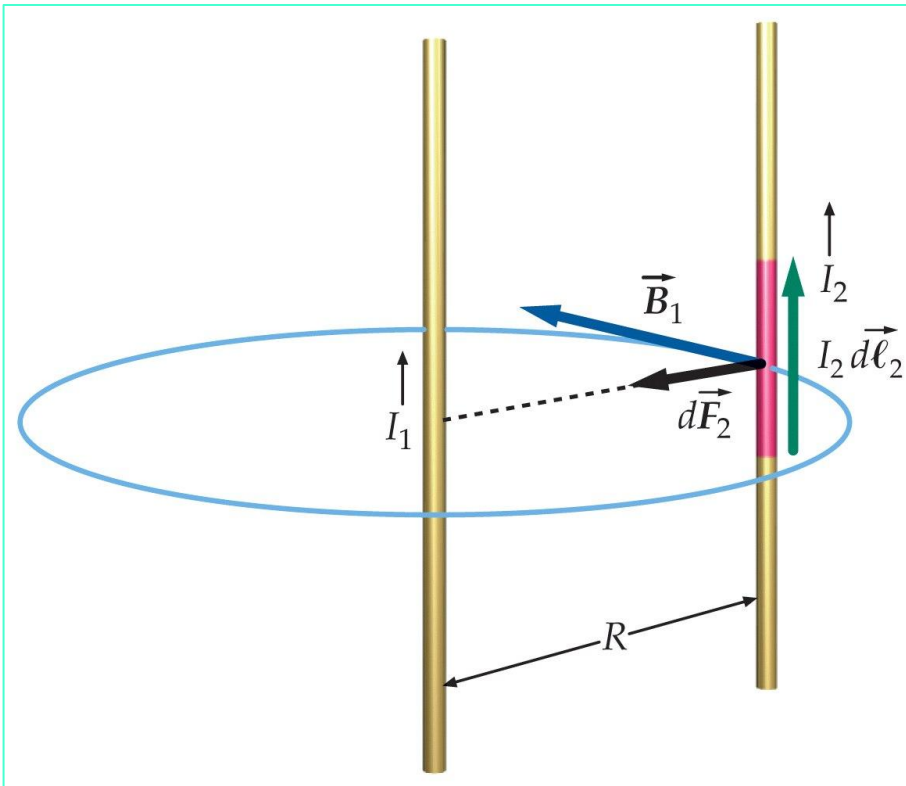
The ampere is the constant electric current that, when maintained in two straight parallel conductors of infinite length and of negligible circular cross sections placed one meter apart in a vacuum, would produce a force between the conductors equal to 2×10^{-7} newtons per meter of length.

$$\mu_0 = 4\pi \times 10^{-7} \frac{N}{A^2}$$

DEFINITION — AMPERE

μ_0 : permeabilidad
magnética del vacío

Fuerza magnética entre dos conductores paralelos



$$\frac{F_2}{L_2} = \frac{\mu_0 I_1 I_2}{2\pi R} u_r$$

Signos:

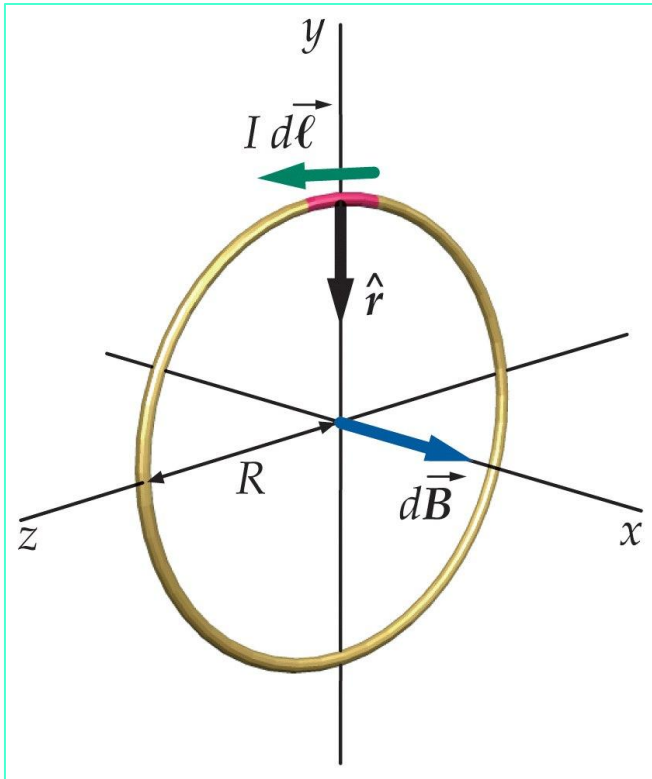
Corrientes paralelas:

atracción

Corrientes antiparalelas:

repulsión

Campo ***B*** creado por una espira de corriente en el centro



$$d\mathbf{B} = \frac{\mu_0}{4\pi} \frac{I d\mathbf{l} \times \mathbf{u}_r}{r^2}$$

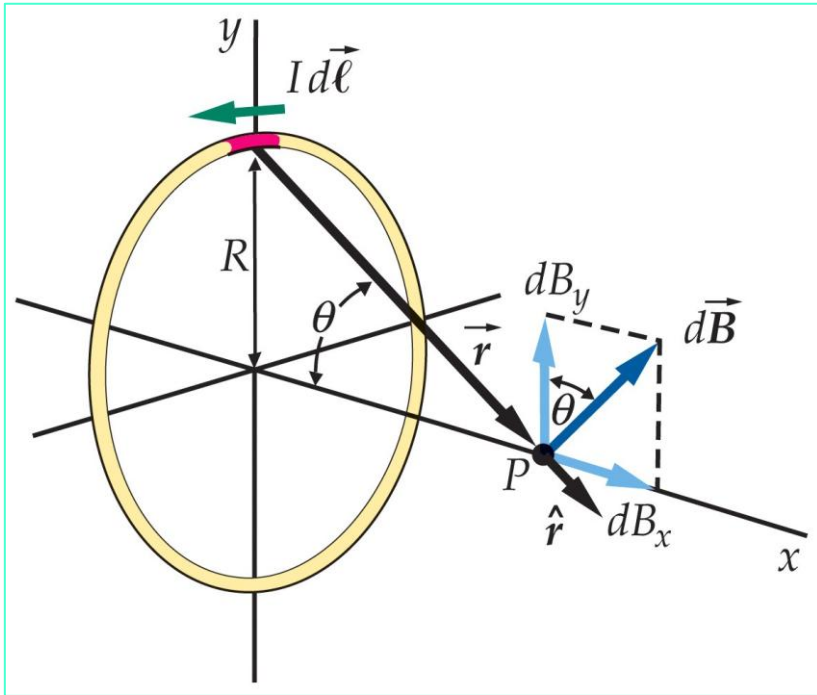
$$dB = \frac{\mu_0}{4\pi} \frac{I dl}{R^2}$$

$$\int dl = 2\pi R$$

$$B = \frac{\mu_0 I}{2R}$$

$$\mathbf{B} = \frac{\mu_0 I}{2R} \mathbf{u}_x$$

Campo \mathbf{B} creado por una espira de corriente en un punto sobre el eje



$$d\mathbf{B} = \frac{\mu_0}{4\pi} \frac{I d\mathbf{l} \times \mathbf{u}_r}{r^2}$$

- Componentes dB_y se anulan por simetría:

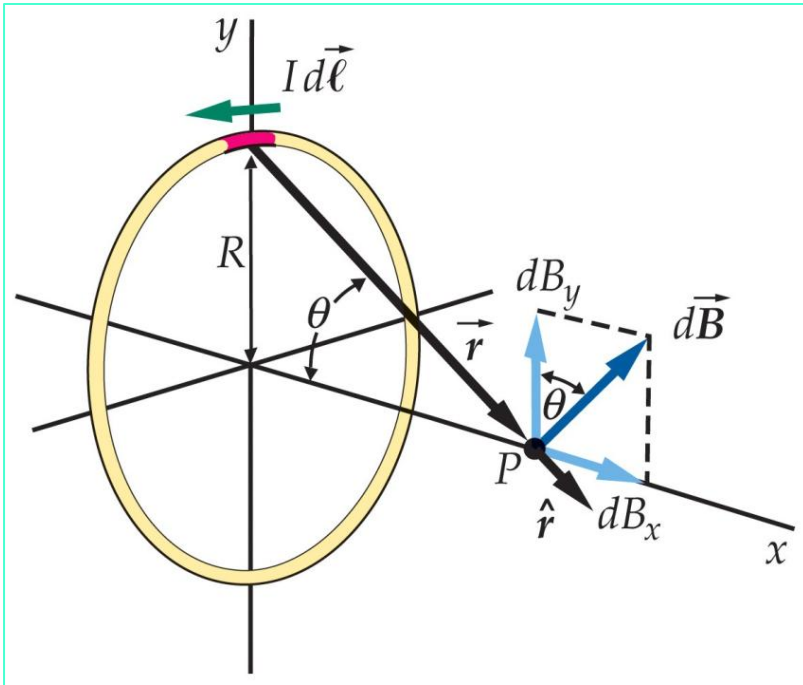
$$dB_y = 0$$

- Componente B_x :

$$dB_x = \frac{\mu_0}{4\pi} \frac{I dl}{r^2} \sin \theta$$

$$\sin \theta = \frac{R}{r} = \frac{R}{\sqrt{x^2 + R^2}}$$

Campo \mathbf{B} creado por una espira de corriente en un punto sobre el eje



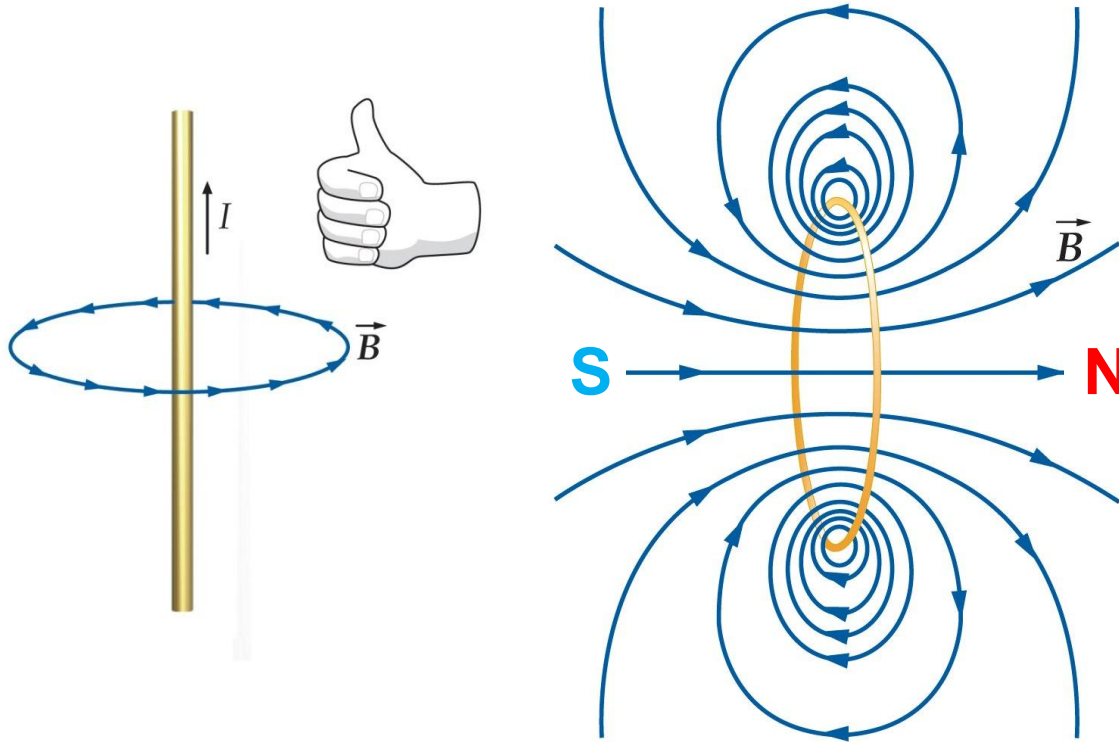
$$dB_x = \frac{\mu_0}{4\pi} I dl \frac{R}{r^3}$$

$$\begin{aligned} dB_x &= \frac{\mu_0 I R}{4\pi r^3} dl \\ &= \frac{\mu_0 I R}{4\pi (x^2 + R^2)^{3/2}} dl \end{aligned}$$

$$\int dl = 2\pi R$$

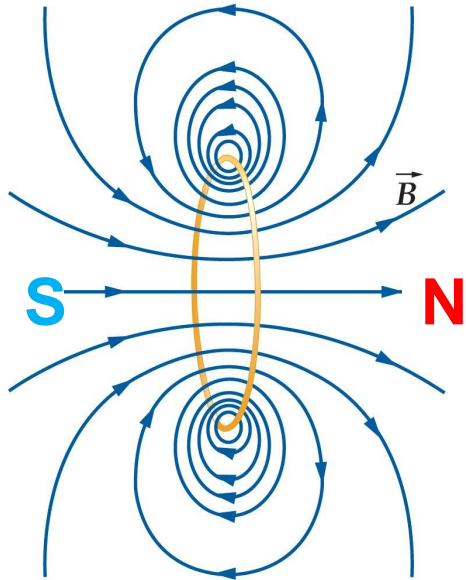
$$B_x = \frac{\mu_0 I R^2}{2 (x^2 + R^2)^{3/2}}$$

Líneas de campo \vec{B} de una espira de corriente



Hemos creado un ***dipolo magnético***

Líneas de campo \mathbf{B} de una espira de corriente



- Campo \mathbf{B} del dipolo magnético (*campo dipolar*) : campo en lugares “lejanos” (aquí del eje x)

→ Corresponde a tomar el límite $x \gg R$ en la expresión exacta:

$$B_x = \frac{\mu_0 I R^2}{2 (x^2 + R^2)^{3/2}}$$

→

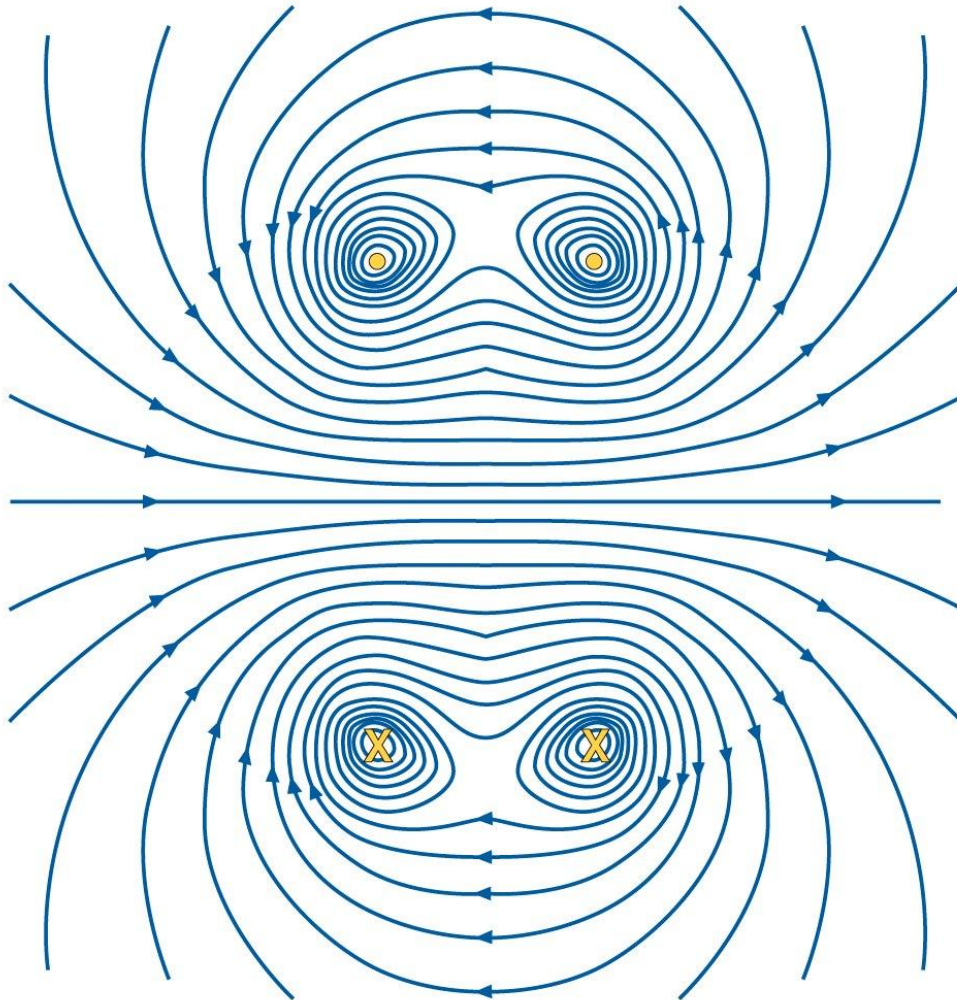
$$B_x \approx \frac{\mu_0 I R^2}{2 x^3}$$

Recordamos:

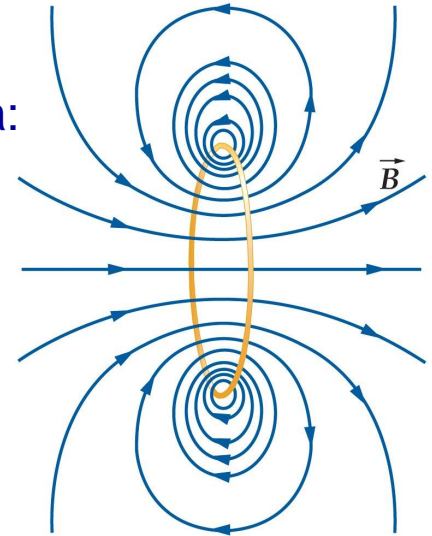
El campo \mathbf{E} de un *dipolo eléctrico* decae como r^{-3} .

Campo dipolar magnético decae como $\sim r^{-3}$

Dos espiras



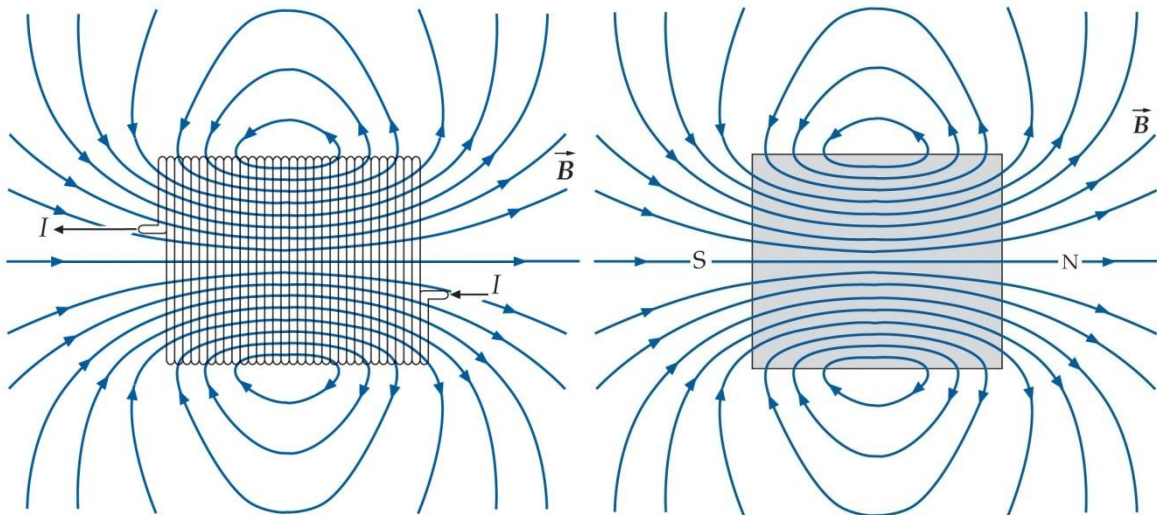
Una espira:



- Si las corrientes van en el mismo sentido, los campos se suman en el centro (superposición):

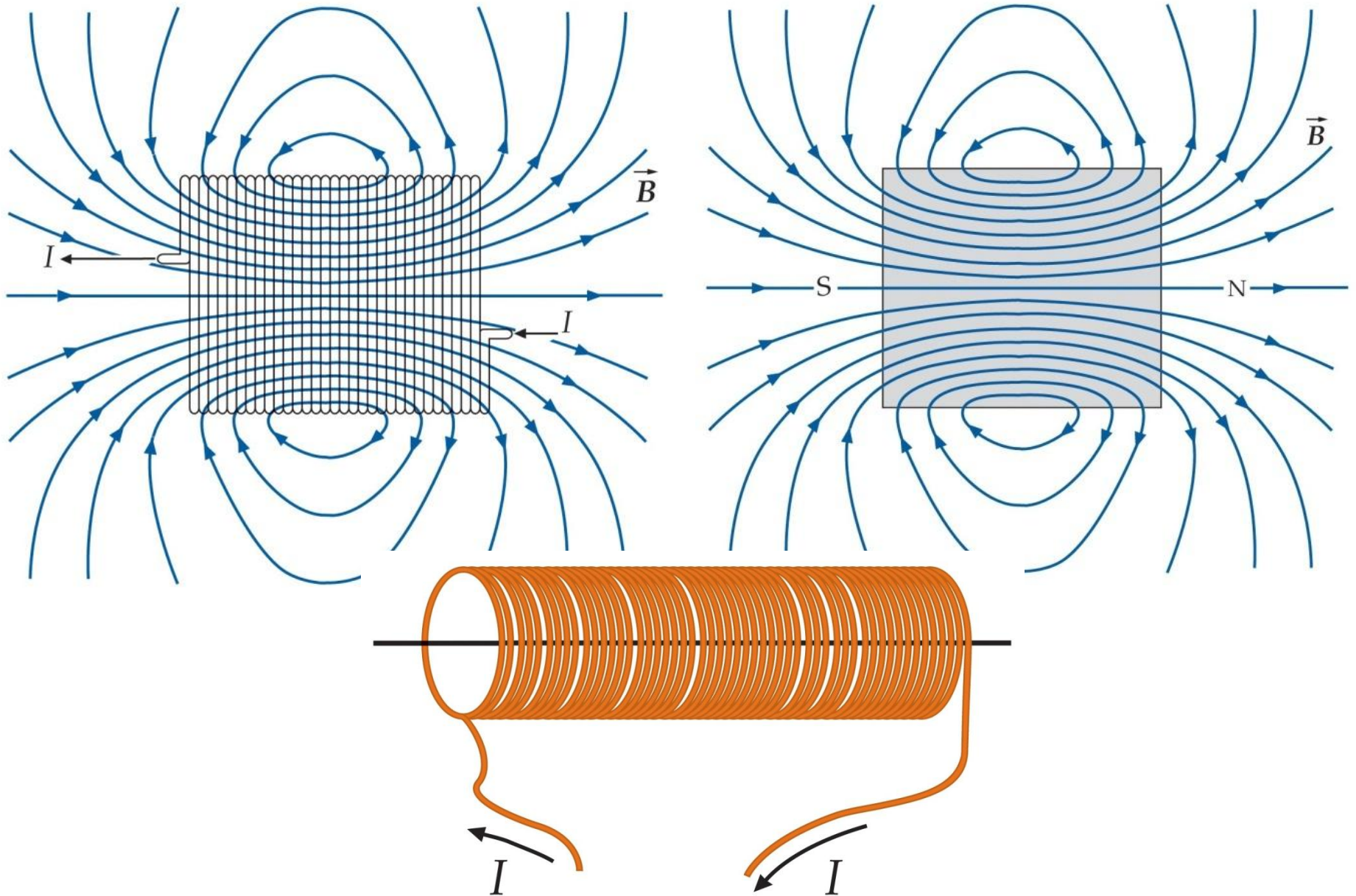
- El campo **B** se hace más homogéneo

Muchas espiras: un solenoide

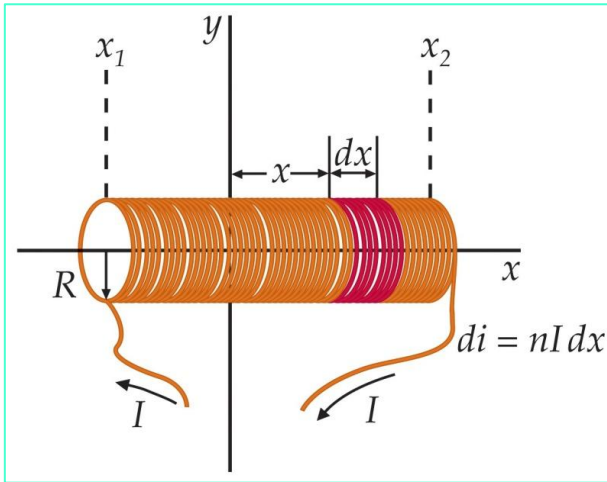


- El campo \vec{B} se hace cada vez más homogéneo cuanto más juntas están las espiras

Muchas espiras: un solenoide



Cálculo del campo B de un solenoide



$$B_x = \frac{\mu_0 I R^2}{2 (x^2 + R^2)^{3/2}}$$

dB_x : Campo creado en x por corriente $di = I n dx'$,
con densidad de espiras $n = N/L$
: Campo creado en 0 por corriente di en x' :

$$dB_x(0) = \frac{\mu_0 I R^2 n}{2} \frac{dx'}{(x'^2 + R^2)^{3/2}}$$

Integrando en x' , el campo en $x = 0$ es:

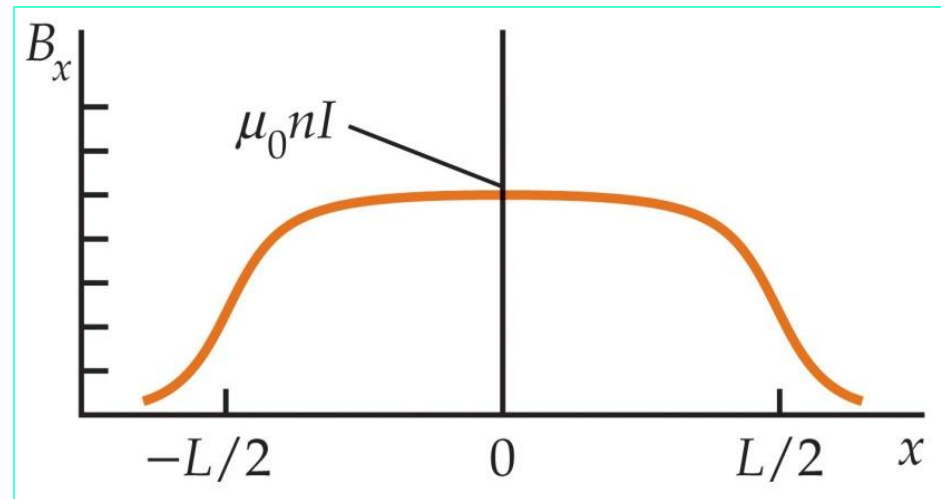
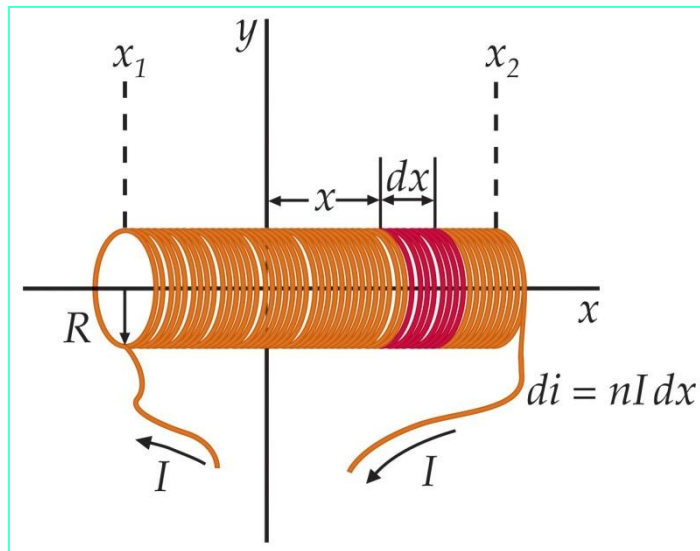
$$B_x(0) = \frac{\mu_0 I R^2 n}{2} \int_{x_1}^{x_2} \frac{dx'}{(x'^2 + R^2)^{3/2}}$$

Cálculo del campo B de un solenoide

Resultado:

$$B_x = \frac{1}{2} \mu_0 n I \left(\frac{x_2}{\sqrt{x_2^2 + R^2}} - \frac{x_1}{\sqrt{x_1^2 + R^2}} \right) \quad 27-8$$

B_x ON THE AXIS OF A SOLENOID AT $x = 0$



En el límite de un solenoide muy largo ($x_2 \rightarrow \infty$, $x_1 \rightarrow -\infty$):

$$B_x = \mu_0 n I$$

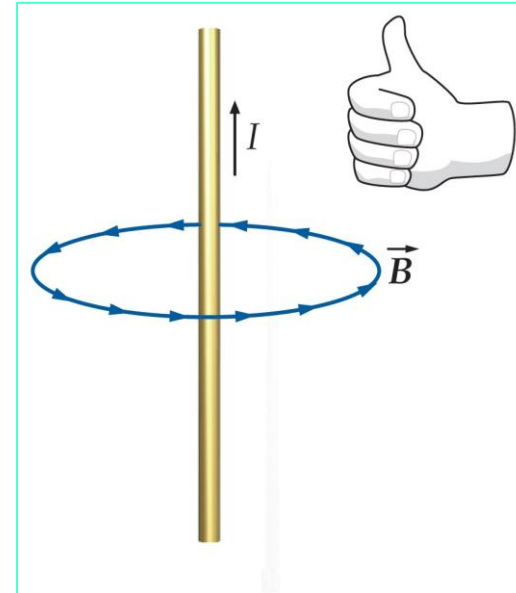
Líneas de campo magnético

J.E. Prieto

Fuente principal de figuras:

“Physics for scientists and engineers” (5th edition),
P.A. Tipler, G. Mosca

Resumen: Líneas del campo \mathbf{B} creado por una corriente rectilínea

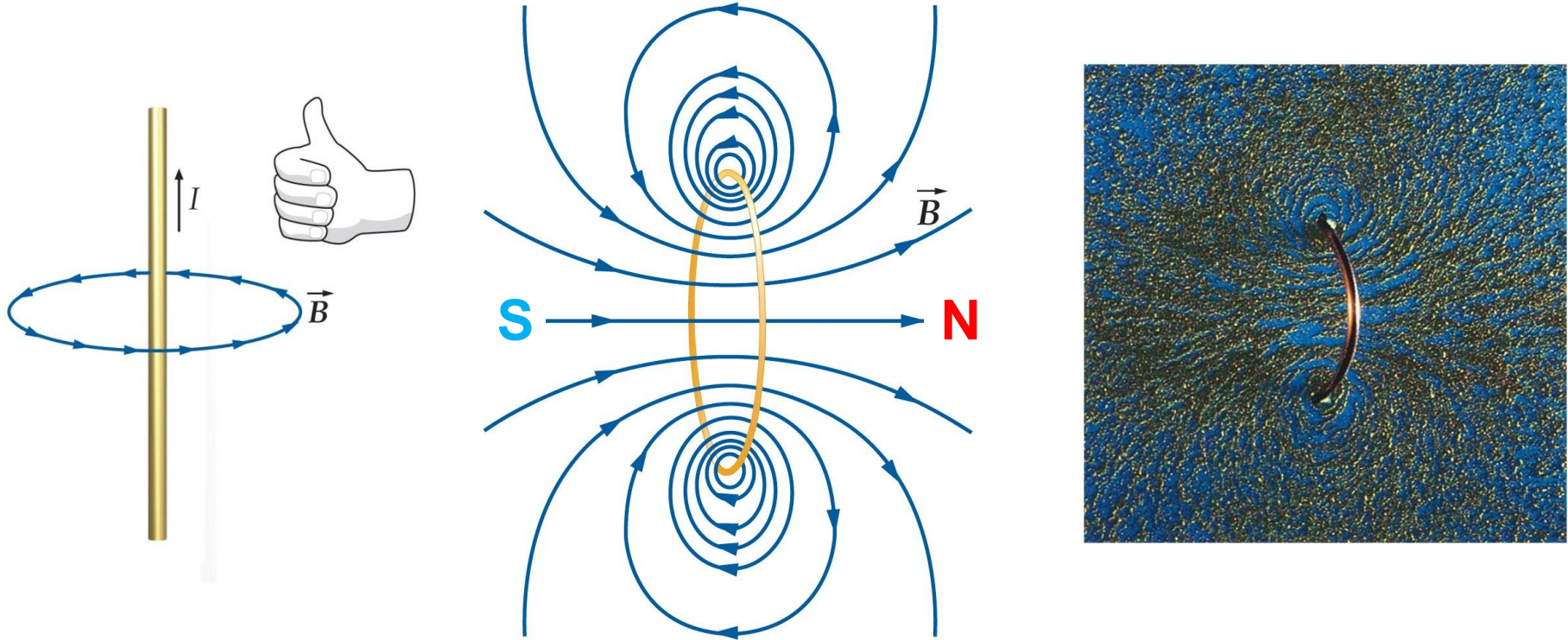


Campo \mathbf{B} creado por una corriente rectilínea:

- Líneas de \mathbf{B} : *circunferencias concéntricas*
- Dirección de \mathbf{B} : *tangencial*
- Sentido: *mano derecha*
- Módulo $\sim 1 / R$

$$\mathbf{B} = \frac{\mu_0 I}{2\pi R} \mathbf{u}_\theta$$

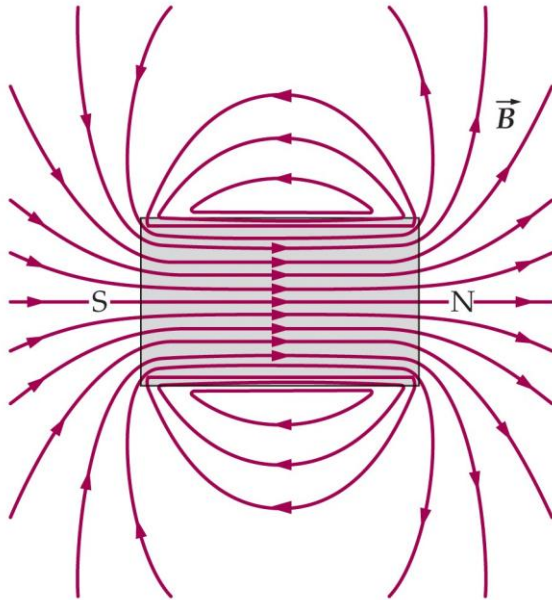
Resumen: Líneas del campo B creado por una espira de corriente



Campo B de una espira de corriente:

- Realización más simple de un *dipolo magnético*

Resumen: Líneas del campo B creado por un solenoide

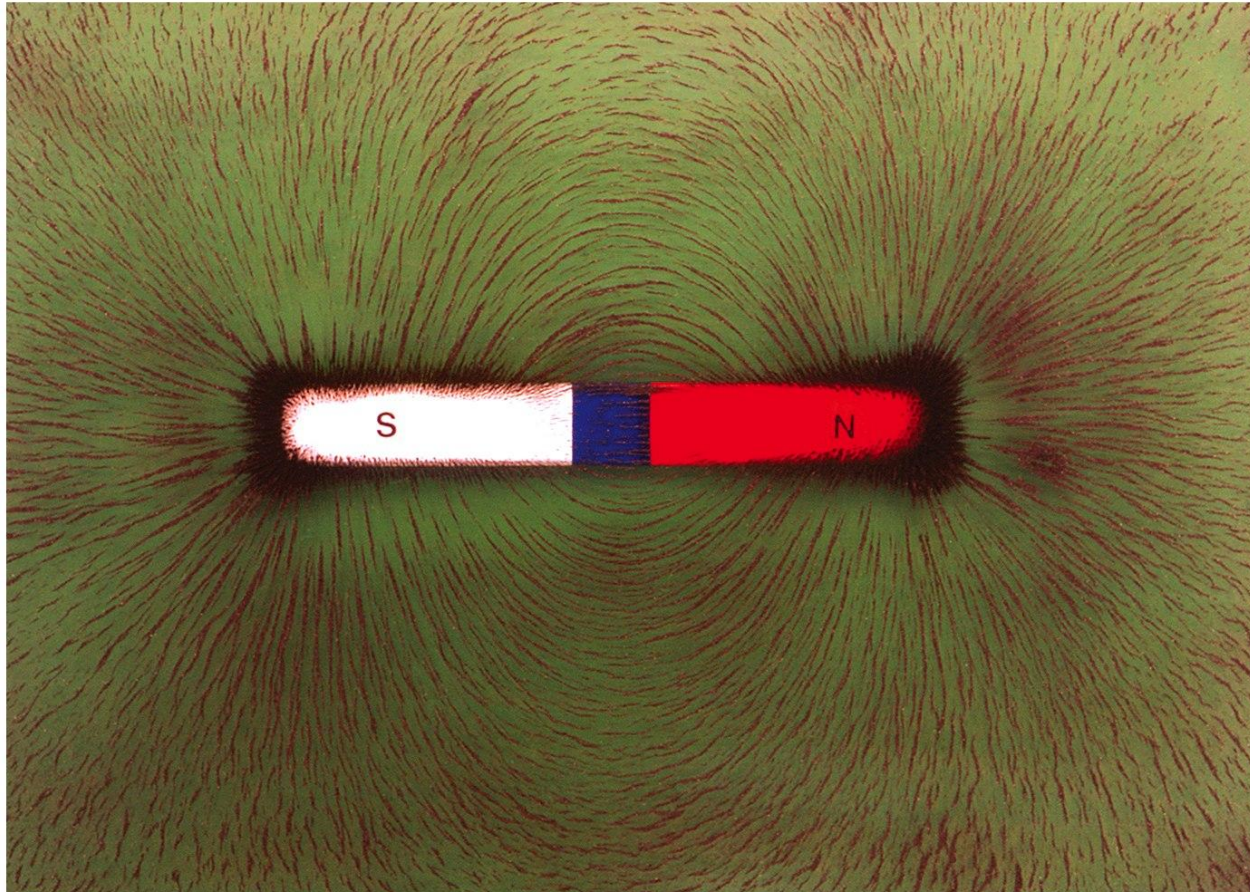


Campo B en un solenoide:

- *Dentro* del solenoide:
 - B en la dirección del eje
 - B aproximadamente *homogéneo*
- *Fuera* del solenoide:
 - $B \approx 0$.

$$B = \mu_0 n I$$

Líneas de campo ***B***: Imán permanente



En todos los casos

Las líneas de campo magnético son *siempre cerradas*,

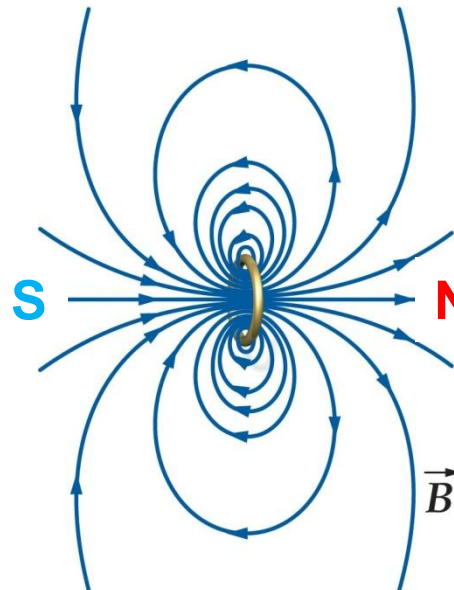
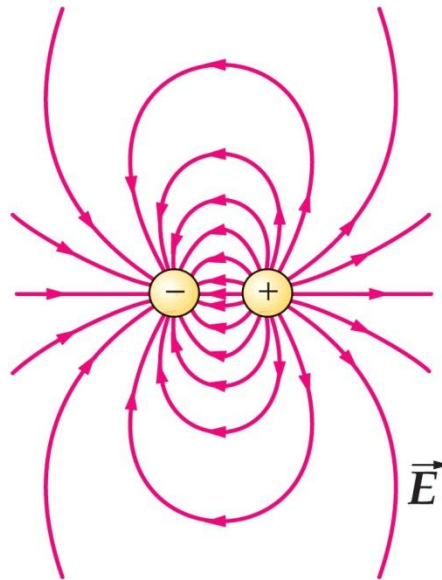
NO TIENEN PRINCIPIO NI FIN,

a diferencia del campo eléctrico.

¿Por qué?

Porque **NO HAY MONOPOLOS MAGNÉTICOS**

Dipolo eléctrico



Dipolo magnético

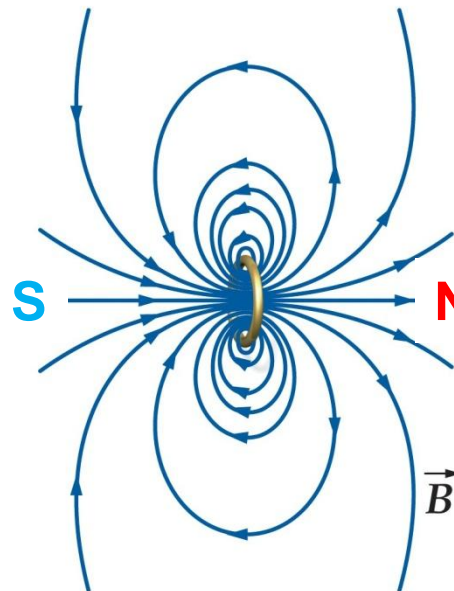
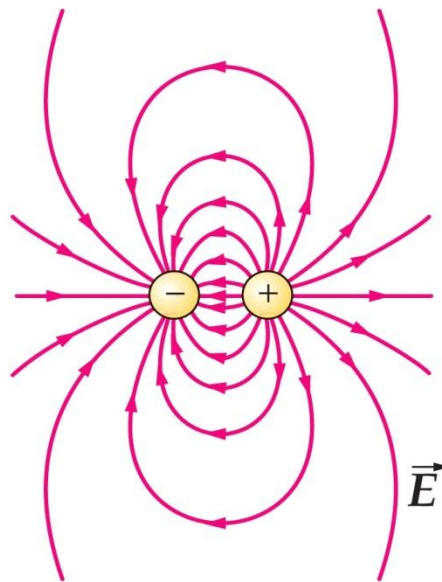
Resumen: Líneas del campo B *en todos los casos*

Las líneas de campo magnético son **SIEMPRE cerradas**,
NO TIENEN PRINCIPIO NI FIN (a diferencia del campo eléctrico),
porque

NO hay “fuentes” de campo B en el sentido
en el que las cargas eléctricas son fuentes de campo E :

NO HAY MONOPOLOS magnéticos

Dipolo eléctrico



Dipolo magnético